

## МЕЗОСКОПИЧЕСКИЕ ФЛУКТУАЦИИ ПРОВОДИМОСТИ В ОБРАЗЦАХ С МАГНИТНЫМИ ПРИМЕСЯМИ

*А.К.Гейм, С.В.Дубонос, И.Ю.Антонова*

Исследовались субмикронные проводники  $n^+$ -GaAs со спиновыми рассеивателями, имплантируемыми в образец в процессе плазмохимического травления. Показано, что релаксация спинов и спиновое рассеяние приводят к подавлению мезоскопических осцилляций сопротивления, которые восстанавливаются в магнитном поле вследствие зеемановского расщепления.

Неупорядоченные проводники малых размеров демонстрируют при низких температурах ряд квантовых свойств, связанных с когерентностью электронных состояний во всем объеме образца. Примером таких свойств являются мезоскопические ("универсальные") флуктуации проводимости, вызванные сменой микроскопической реализации образца при изменении магнитного поля, энергии Ферми или вследствие диффузии примеси<sup>1</sup>. Наличие в образце магнитных примесей может коренным образом изменить достаточно хорошо изученную экспериментально картину мезоскопических свойств<sup>2,3</sup>. Спиновое рассеяние со временем  $\tau_s$  подавляет на длине  $L_s = (D \cdot \tau_s)^{1/2}$  вклад в квантовую проводимость от куперона и триплетной части диффузона, однако, синглетная часть диффузона "выживает"<sup>3</sup>. Таким образом, наличие в образце спиновых рассеивателей катастрофически уменьшает величину слаболокализационных эффектов<sup>4</sup>, но сохраняет тем не менее зависимость сопротивления проводника малого размера от его реализации. Однако, мезоскопические свойства таких образцов в реальном эксперименте будут проявляться очень слабо, поскольку из-за быстрой эволюции локализованных спинов флуктуации самоусредняются во времени<sup>3</sup>. Действительно, переворот спина приводит к смене реализации рассеивающего потенциала<sup>2</sup>, а времена спин-решеточной релаксации и релаксации Корнги  $\tau_r$ , как правило, существенно меньше, чем характерное время измерений проводимости.

Если образец с спиновыми рассеивателями поместить в магнитное поле ( $\mu_{imp}H \gg kT$ ), то произойдет подавление спинового рассеяния (и одновременно спиновой релаксации),  $\tau_{s,r} \propto \infty \exp(\mu_{imp}H/kT)$ <sup>3</sup>. Таким образом, в сильном поле должна восстанавливаться обычная картина мезоскопических свойств. Понижение температуры также может приводить к восстановлению амплитуды мезоскопических флуктуаций вследствие образования спинового стекла или из-за эффекта Кондо.

Нами изучалось магнетосопротивление (МС) субмикронных проводников из  $n^+$ -GaAs с магнитными примесями, имплантированными в образец в процессе его плазмохимического травления. Для изготовления образцов использовались пластины с эпитаксиальным слоем  $n^+$ -GaAs толщиной  $\approx 0,15$  мкм и концентрацией  $\approx 5,10^{17}$  см<sup>-3</sup> (глубина слоя обеднения  $\approx 500$  Å). Несупругая длина  $L_{imp}$ , измеренная по слаболокализационному МС, составила  $\approx 0,15$  мкм при 4,2 К и 0,3–0,4 мкм при 1,3 К. С помощью электронно-лучевой литографии на поверхности пластины создавалась алюминиевая маска, служившая для последующего травления в активном слое меза-структуры, требуемой геометрии. Маска позволяла использовать и жидкостное (1 H<sub>2</sub>O<sub>2</sub> : 1 NH<sub>4</sub>OH : 80 H<sub>2</sub>O) и плазмохимическое (CCl<sub>2</sub>F<sub>2</sub> : 20%O<sub>2</sub>) травление. Фотография одного из образцов приведена на рис. 1.

Образцы, полученные жидкостным травлением, демонстрировали поведение, которое хорошо соответствовало ожидаемому для образцов данного размера ( $\approx (0,2\text{--}0,4) \cdot 0,7$  мкм): наблюдалось отрицательное слаболокализационное магнетосопротивление (ОМС) в слабых магнитных полях и мезоскопические осцилляции проводимости величиной  $\Delta G \approx e^2/h$ . Аналогичные зависимости многократно встречаются в литературе (в том числе и для GaAs<sup>5</sup>), поэтому мы не приводим их в данной работе.

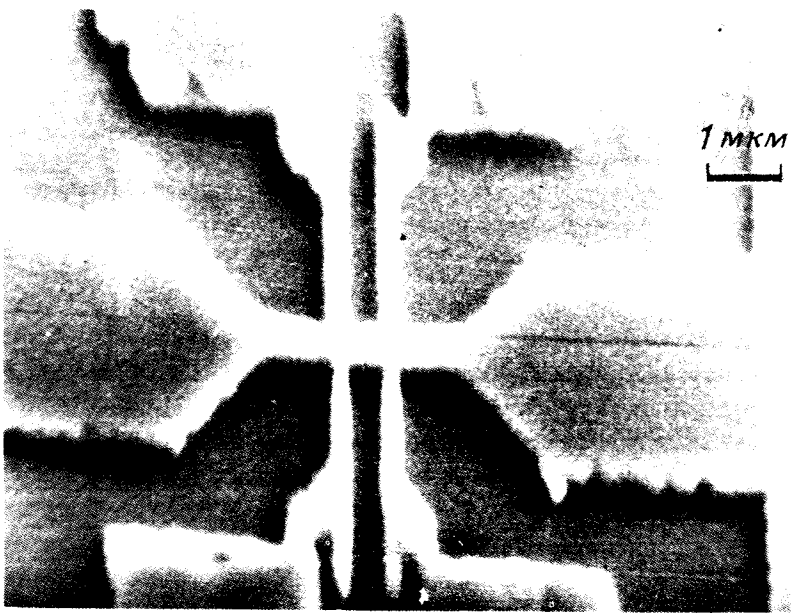


Рис. 1. Электронно-микроскопическая фотография одного из образцов (потенциальные контакты расположены на расстоянии  $\approx 0,7$  мкм)

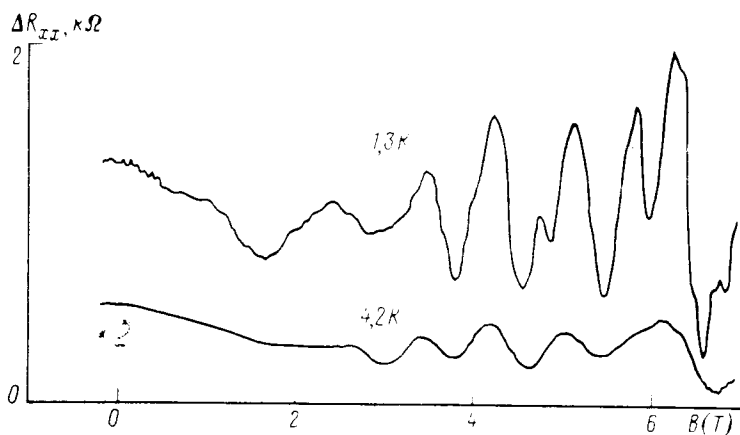


Рис. 2. Магнетосопротивление  $\Delta R_{xx}$  образца  $n^+$ -GaAs шириной 0,2 мкм

В отличие от этого образцы, протравленные в плазме и имеющие практически те же геометрические размеры и то же сопротивление, демонстрировали весьма необычное поведение, показанное на рис. 2. Во-первых, наблюдалось почти полное отсутствие МС в слабых полях – в то время как для образцов, полученных жидкостным травлением, величина ОМС в несколько раз превышала масштаб рисунка 2. Во-вторых, амплитуда осцилляций МС была на один – два порядка меньше ожидаемой. И наконец, на рис. 2 отчетливо видно возрастание амплитуды мезоскопических осцилляций с увеличением поля. С одной стороны, подавление слабой локализации само по себе позволяет утверждать (и, по-видимому, однозначно, т.к. какой-либо другой механизм неизвестен<sup>4</sup>) о наличии в образцах спиновых рассеивателей. С другой стороны, отсутствие флюктуаций в слабом поле и их восстановление в сильном поле соответствует

вуют предполагаемому поведению МС проводника с спиновыми рассеивателями. Мы полагаем, что дефекты, обладающие свободным спином, имплантируются в образец при плазменной обработке через боковые грани меза-структуры (для целей данной работы их природа и механизм образования не важны).

Малого количества осцилляций на кривых МС (см. рис. 2) совершенно недостаточно для определения полевой зависимости среднеквадратического значения флуктуаций проводимости  $\Delta G(B)$ . Чтобы получить такую зависимость мы использовали метод, состоящий в пропускании через образец импульсов тока, которые вызывали смену реализации образца за счет термической диффузии (или электромиграции) примесей. После пропускания тока в 0,1 мА наблюдалась полная смена положений экстремумов на кривых МС. На рис. 3 приведены примеры флуктуаций сопротивления, вызываемых током: без магнитного поля проводимость образца практически не изменяется, в то время как в поле 7 Т (  $\mu_B H/kT \approx 3,5$  ) разброс значений сопротивления значителен. На рис. 4 показана зависимость  $\Delta G(B)$ . Каждая точка усреднена по 20–30 значениям сопротивления. При 1,3 К амплитуда осцилляций резко возрастает с магнитным полем, а при 4,2 К это возрастание существенно слабее. Отметим, что зависимости, подобные приведенным на рис. 4, получены ранее авторами обзора<sup>6</sup> для амплитуды осцилляций Ааронова – Бома в субмикронных кольцах золота с напыленным слоем магнитных примесей (несмотря на соответствующую ссылку в<sup>6</sup>, полностью результаты опубликованы не были).

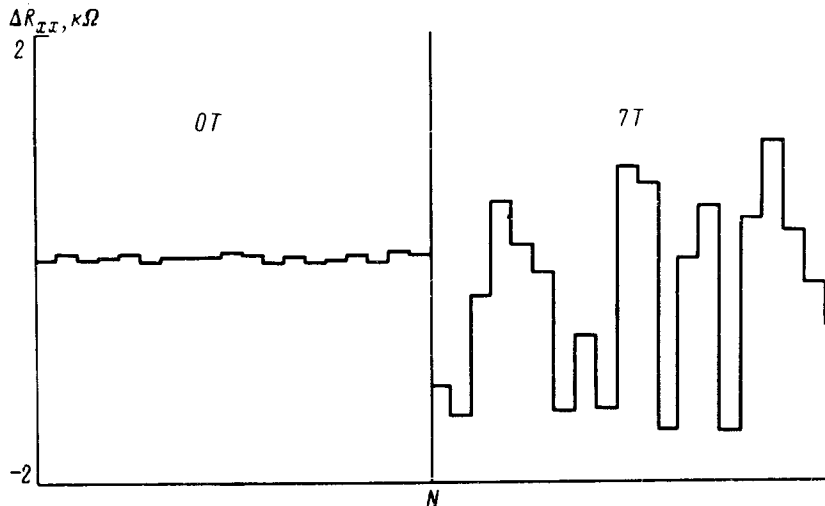


Рис. 3. Флуктуации сопротивления после пропускания через мезоскопический проводник тока 1 мА (15–30 с) в нулевом поле (слева) и в поле 7 Тл (справа):  $T = 1,3$  К. Каждому новому значению сопротивления соответствует горизонтальный участок на кривой

Для двумерного образца  $\Delta G$  описывается формулой (см. <sup>1,3</sup>)

$$\Delta G = ce^2/h(L_\phi/L_x)^{3/2}(L_\phi/L_y)^{-1/2}, \quad (1)$$

где  $c$  – коэффициент  $\approx 1$ ,  $L_x$  и  $L_y$  – длина и ширина образца. Длина сбоя фазы  $L_\phi$  определяется соотношением:  $L_\phi^{-2} = L_{in}^{-2} + 2L_s^{-2}$ , которое зависит от поля через  $L_s$ . Полагая магнитный момент примеси равным  $1/2$ , получим – вследствие изменения в поле заполнения начального и конечного состояний –  $L_s \approx L_s^0 \cosh(\mu_B H/kT)$ . Поскольку ОМС в исследованных образцах практически отсутствовало, то  $L_s^0$  полагалась равной длине свободного пробега электронов  $l$ . Результаты расчета (см. рис. 4) хорошо описывают экспериментальные зависимости. По-ви-

димому, можно добиться лучшего согласия, если учесть ряд усложняющих расчет дополнительных факторов, например, изменение эффективной размерности образца при изменении  $L_\varphi$  и стремление  $\Delta G$  к нулю в слабых полях при  $L_\varphi \Rightarrow l$ .

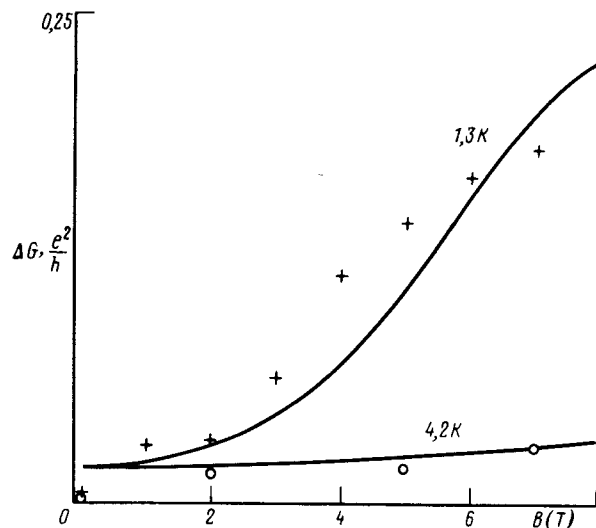


Рис. 4. Зависимость величины флуктуаций проводимости от магнитного поля (+ – 1,3 К, о – 4,2 К). Сплошной кривой показаны результаты расчета

На кривых МС (см. рис. 2) в поле выше 3 Тл наблюдаются осцилляции с корреляционным полем  $B_c = 0,07\text{--}0,15$  Тл. Хотя это значение соответствует известному выражению  $B_c \approx (h/e)/\{L_{in} \min(L_{in}, L_y)\}$ , на наш взгляд, из-за усреднения по времени могут наблюдаться только флуктуации со значением  $B_c \approx (h/e)/L_\varphi^2$ , которое сильно, как и  $\Delta G$ , изменяется в магнитном поле. Такое несоответствие мы объясняем неоднородным распределением спиновых рассеивателей в образце, при котором из-за взаимодействия спинов обычная картина флуктуаций восстанавливается в части образца уже в относительно слабом поле. Другая возможность – это расположение магнитных примесей преимущественно на боковых гранях меза-структурь, вследствие чего появляется характерный масштаб  $\approx (h/e)/L_y^2$ .

Таким образом, нам удалось наблюдать характерные особенности в поведении мезоскопических проводников, вызванные наличием свободных спинов. Авторы благодарны В.И.Фалько за обсуждения и предоставленную возможность ознакомиться с результатами работы <sup>3</sup> до ее публикации.

#### Литература

1. Washburn S. IBM J. Res. Develop., 1988, **32**, 335.
2. Альтшулер Б.Л., Спивак Б.З. Письма в ЖЭТФ, 1985, **42**, 363.
3. Бобков А.И., Фалько В.И., Хмельницкий Д.Е. ЖЭТФ, 1990, **98**, в печати.
4. Bergmann G. Phys. Rep., 1984, **107**, 1.
5. Taylor R.P. et al. Surface Sci., 1988, **196**, 52.
6. Washburn S., Webb R.A. Adv. Phys., 1986, **35**, 375.

Институт проблем технологий микроэлектроники  
и особочистых материалов  
Академии наук СССР

Поступила в редакцию  
6 июля 1990 г.